

## 土石流の停止・堆積に関する研究(第二報)

### —現地模型を用いた土石流危険区域設定に関する実験的研究—

建設者土木研究所

○池谷 浩, 北山滋基, 上原信司

#### はじめに:

(1) 筆者はオーバーフローにて、土石流の停止・堆積は、土石流量、後続流量および堆積の場の地形条件によって変化することを示した。また、土石流の停止・堆積長は復興系モデルで与えられて、直線的変化の激しい Side Step 現象が生ずると停止・堆積長が短くなることを示した。今回はこれら諸事項を現地模型実験により確認し、また条件の変化により同一扇面での危険区域の変化、同一条件で扇面条件を変更した場合の危険区域の変化について実験結果を用いて報告する。

#### 模型実験による土石流危険区域設定の意義:

土石流危険区域を設定する理論的な手法では特に堆積の場を考慮した Model がないため、同一条件を与えると同一の危険区域が与えられてしまう。(しかしこれは現実に合わない)これを解決する方法として Side Step Model を提案したが、具体的な扇状地形上の危険区域の設定には現地模型を用いた実験的手法によつて行なう方法があり、過去の土石流堆積区域を再現するための手法として有効であることは別の機会に発表した。また模型実験では実験条件(計画諸量)を自由に変化させることが可能であるため、最も危険区域が大きくなる条件の設定が可能になる。

#### 実験装置及び実験条件:

実験に用いた装置は土木研究所砂防流路工屋外実験施設にある大型土石流実験水路の勾配 $10^\circ$ の部分に洞谷扇状地の $1/10$ 縮尺模型(図-1)を作製し、水路上流 $15^\circ \sim 20^\circ$ 区间に土砂を敷いて、水路上流端より流量を与えて土石流を発生させた。実験条件は表-1 通りである。

表-1. 実験条件

Case	Run	流量	時間	土砂量	扇状地形
1	1	0.7%	20	5.3 m <sup>3</sup>	扇状地 A
	2	1.0	20	1.9	
	3	0.7	210	2.8	
2	1	1.4	20	5.2	A
	2	2.0	20	1.9	
	3	1.4	210	2.8	
3	1	0.7	40	5.3	A
	2	1.0	40	1.9	
	3	0.7	100	2.8	
4	1	0.7	20	10.0	A
	2	1.0	20	4.0	
	3	0.7	210	8.0	
5	1	0.7	20	2.6	A
	2	1.0	20	1.0	
	3	0.7	210	1.0	
6	1	0.7	20	5.3	扇状地 B
	2	1.0	20	1.9	
	3	0.7	210	2.8	
7	1	0.7	20	5.3	扇状地 C
	2	1.0	20	1.9	
	3	0.7	210	2.8	
8	1	1.4	20	5.3	扇状地 B
	2	2.0	20	1.9	
	3	1.4	210	2.8	
9	1	1.4	20	5.3	扇状地 C
	2	2.0	20	1.9	
	3	1.4	210	2.8	

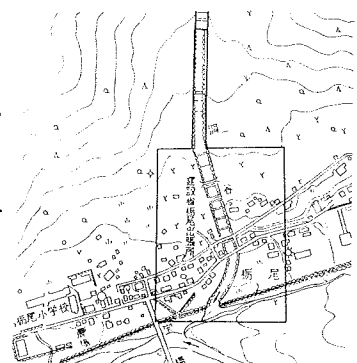


図-1. 実験アリーナ範囲

砂礫型土石流の流速を $V_s$ とする  
と $U_s/U_f$ 値はほぼ $U_s/U_f \leq 5 \sim 6$ と  
される。図-2 参照

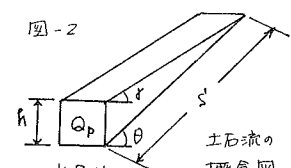
$$V_s = \frac{1}{2} \cdot \frac{1}{\tan(\theta-\delta)} \cdot h^2 \cdot B, \quad B = 2Q_p^{1/2}$$

とすれば $V_s = 2h^3 / \tan(\theta-\delta)$ となる。

すなはち $V_s \propto h^3$ となり、 $V_s$ が大き  
いほど下流まで流下する。

#### 参考文献:

- (1) 池谷 浩: 土石流の停止・堆積に関する研究(第一報), 55年度砂防学会発表概要集
- (2) 池谷 浩: 土石流危険区域設定に関する実験的研究, 土木資源 Vol. 23, No. 4, 1981. 4
- (3) 池谷・水谷: 土石流危険区域設定に関する研究(第二報), 土木資源 Vol. 21, No. 9, 1979. 9
- (4) 池谷・水谷: 土石流の運動と堆積に関する研究, 土木研究所報告提出稿中



(注1) 试验条件は 20m<sup>3</sup>/秒の水槽高 H 10cm の条件下で砂を充填した。

(注2) 扇状地 A は土石流前の河道, B は土石流後の河道(土石流河道)。  
(注3) 明治 19 年の河床をなしておらず測定不可能。

## 実験結果と考察:

### ① Side Step 現象の影響

模型上の河道を災害前河道(扇状地A), 河道幅が半分(B), 河道狭い(C)の三つの形に整形し水理条件を同じにして実験(Case 1.6.7 & Case 2.8.9)を実施して Side Step 現象の確認をあこがれた。図-3に示すように、河道が存在する場合には見られないと Side Step 現象が Case 7 および 9 で明らかに確認された。

これを堆積長と分散幅との関係で整理したのが表-2である。

表から Side Step 現象が堆積長に関係していることが判る。

しかし分散幅につけては特に明瞭な差は認められていない。

この Side Step 現象も土石流の一波では明瞭であるが、第二波以降ではすでに第一波の堆積物があり堆積に影響を与えるため、Side Step として堆積区域を評価するには問題がある。

### ② 流量およびその継続時間の影響

流量および継続時間の影響については Case 1.2.3 において検討した。土石流先端部ではピーカ流量は比例して土砂が派出し、全土砂量に対しては後続流および流水の流量が影響を与えている。しかし全流量に対する全派出土砂の比は流量が無いほど小さく値を示している。

### ③ 溪床内不安定土砂量の多寡の影響

溪床内土砂量の多寡の影響は Case 1.4.5 によって検討した。特に大粒径の分布(現地スケール 70 cm 以上、図-4)によると Case 1 と Case 4 とではほとんど変わらず、溪床内土砂量の少ない Case 5 が若干小さな範囲となる。また総土砂量についても Case 5 が少ない。土石流の平均濃度として Case 1~5 を調べてみると 22.3%, 17.0%, 36.0%, 26.7%, 13.8% であり、最大値でも(4) 40%程度と考えられる。実際の洞谷の土石流でも 29.5% であり実験結果とよく一致している。

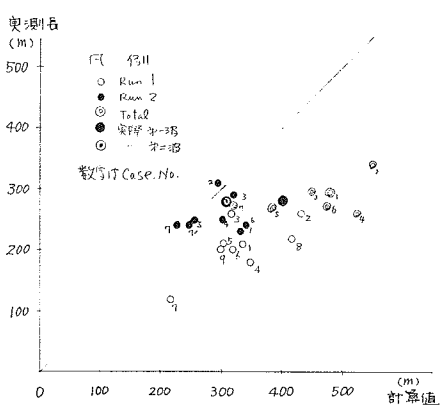


図-5. 土石流停止・堆積長の検討

表-2 Side Step と分散堆積との関係

Exp. No.	Case	Side Step	堆積長(m)	分散幅(m)	堆積量(t)	面積(m²)	面積率(%)
Q	1	無	212	103	500	200	Na. 17 E11
Q	6	有	200	87	402	100	E12
Q	7	有	118	80	310	200	
Q	2	無	240	152	402	200	
Q	8	無	218	96	402	100	
Q	9	有	172	115	310	200	

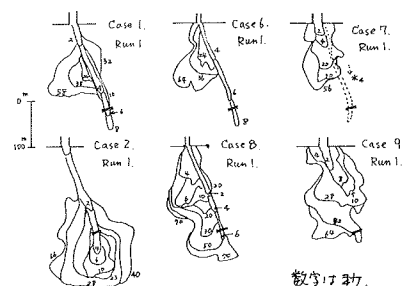
(+) 堆積物が停止する位置を堆積量 20t 以下の 7 つとした。

(\*\*)  $B = 0.2 \times 2.28$

(\*\*\*)  $A = 0.2 \times 2.28 \times 10 = 4.56$

(\*\*\*\*) Side Step で ITD と E11 の範囲

図-3 地形(河床)の変化と土石流の堆積



数字すれり。

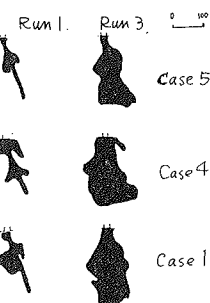


図-4. 大粒径の分布範囲

### ④ 堆積長と分散幅に関する考察

堆積長に関しては図-5 に示したように Run 1 においては計算によって評価されうるが、第二波で Side Step を評価すると危険側に入る例があり。第二波以降では土砂流の影響(後続流による)が強くなるため Side Step の評価は妥当ではない。分散幅については前述の通り  $B = 4.56$  が得られ、土砂流の波高  $L_B = 3 \sim 5 m$  をあると  $B \leq 20 m$  が得られる。この  $B$  をもとに分散幅は  $L_B = (6 \sim 10) B$  で示せることが判明しているか。実験的にも適用が可能であることが判明した。